

Vorlesung 24 Persistente Homologie

Erinnerung Betti-Zahlen eines simplizialen Komplexes K :

$$\beta_n(K) = \dim \ker(\partial_n) / \operatorname{Im}(\partial_{n+1})$$

(Interpretation: $\beta_n(K) = \#$ n -dim Löcher in K
 $= \#$ Löcher in K mit n -dim. Rand.

(D.h. $\Delta = 1$ -dim Loch).

Wir wollen nun zusätzlich verstehen, welche Löcher in $K_r = VR_r(P)$ oder $K_r = C_r(P)$ ($P = \{x_0, \dots, x_n\} \subset \mathbb{R}^D$) wann entstehen und geschlossen werden.

Dazu benötigen wir eine Definition:

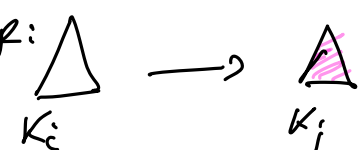
Definition 24.1

Eine Kette von simplizialen Komplexen der Form

$$K_1 \subseteq K_2 \subseteq \dots \subseteq K_m$$

heißt Filtration von Länge m .

In unserem Setting haben wir Radii $r_1 < r_2 < \dots < r_m$ und eine Filtration $K_1 \subseteq \dots \subseteq K_m$ mit $K_i = VR_{r_i}(P)$.
(oder $K_i = C_{r_i}(P)$).

Seien nun $i < j$. Wir wollen verstehen, welche Löcher in K_i auch in K_j vorhanden. Bsp:  (Loch ist verschwunden)

Dazu seien jetzt K, K' simpliziale Komplexe und

$f: K \rightarrow K'$ mit $f(\text{n-dim Simples}) \subseteq \text{n-dim Simples}$.

eine Abbildung. f induziert eine lineare Abbildung

$$f: C_n(K) \rightarrow C_n(K')$$

$$\sum_{\Delta \text{ n-Simplices in } K} a_{\Delta} \cdot \Delta \mapsto \sum_{\Delta \text{ n-Simplices in } K'} a_{\Delta} \cdot f(\Delta).$$

Definition 24.2 abstrakt

Seien K, K' simpliziale Komplexe, $f: K \rightarrow K'$ wie oben.

Wir nennen f stetig, wenn für alle n gilt

$$\partial_n' \circ f = f \circ \partial_n$$

Für einen simplizialen Komplex K mit Randoperator ∂_n definieren wir

$$Q_n: \text{ker}(\partial_n) \rightarrow H_n(K) = \frac{\text{ker}(\partial_n)}{\text{Im}(\partial_{n+1})}$$

die Quotientenabbildung.

Lemma 24.3

Seien K, K' simpliziale Komplexe mit Quotientenabbildungen Q_n, Q_n' . Sei $f: K \rightarrow K'$ stetig. Dann haben wir eine wohldefinierte lineare Abbildung

$$f_*: H_n(K) \rightarrow H_n(K').$$

mit

$$f_* (Q_n(v)) := Q_n'(f(v)), \quad v \in \text{ker}(\partial_n).$$

Beweis Wir müssen zeigen, dass $Q_n'(f(v)) = Q_n'(f(w))$ für $v, w \in \text{Im}(\partial_{n+1})$. Da f und Q_n' linear sind, genügt

es zu zeigen, dass $Q_n'(f(v-w)) = 0$, d.h. $f(v-w) \in \text{Im}(\partial_{n+1})$.

Sei $u \in C_{n+1}(K)$ mit $v-w = \partial_{n+1}(u)$. Dann:

$$\begin{aligned} f(v-w) &= (f \circ \partial_{n+1})(u) = (\partial_{n+1}' \circ f)(u) \\ &= \partial_{n+1}'(f(u)) \in \text{Im}(\partial_{n+1}') \end{aligned}$$

Wir betrachten nun folgende stetige Abbildung \hookrightarrow für unsere Filtration $K_1 \subseteq \dots \subseteq K_n$.

$$\iota_{ij}: K_i \rightarrow K_j, \Delta \mapsto \Delta, \quad i < j.$$

d.h. ι_{ij} ist die Einbettung von K_i in K_j .

Nach Lemma 24.3 erhalten wir lineare Abbildungen

$$(\iota_{ij})_*: H_n(K_i) \rightarrow H_n(K_j).$$

Das Bild von $(\iota_{ij})_*$ misst welche Löcher in K_i auch in K_j vorhanden sind.

Definition 24.4

Sei $K_1 \subseteq \dots \subseteq K_n$ eine Filtration von simplizialen Komplexen mit Einbettung $\iota_{ij}: K_i \rightarrow K_j$, $i < j$. Die n -te persistente Betti-Zahl des Komplexes ist

$$\beta_n^{i,j} := \dim \text{Im}((\iota_{ij})_*).$$

= # Löcher in K_i , die auch in K_j vorhanden sind.

Proposition 24.5

Die Anzahl $\underbrace{\hspace{1cm}}$ Löcher, die zum Index i erscheint und zum n -dim

Index j verschwindet, ist

$$\mu_n^{i,j} := (\beta_n^{i,j-1} - \beta_n^{i,j}) - (\beta_n^{i-1,j-1} - \beta_n^{i-1,j})$$

Beweis

$(\beta_n^{i,j-1} - \beta_n^{i,j}) = \#$ Löcher, die zum Index i vorhanden sind und zum Index j verschwinden

$(\beta_n^{i-1,j-1} - \beta_n^{i-1,j}) = \#$ Löcher, die zum Index $i-1$ vorhanden sind und zum Index j verschwinden \square

Algorithmus (Persistent Homologie)

1. Berechne Filtration $K_1 \subseteq \dots \subseteq K_m$ mit $K_i = VR_{F_i}(P)$
(oder $K_i = C_{F_i}(P)$)
2. Für alle $1 \leq i < j \leq m$ und $0 \leq n \leq \dim K_i - 1$ berechne $\mu_n^{i,j}$ wie in Prop. 24.5.
3. Return $\mu_n^{i,j}$.

Üblicherweise werden die $\mu_n^{i,j}$ in einem Barcode-Plot oder Persistenz-Diagramm visualisiert